

$^{40}\text{Ca}(^{28}\text{Si},3\alpha\gamma)$  **2006Jo03**

Type	Author	History	Citation	Literature Cutoff Date
Full Evaluation	Huo Junde, Huo Su, Yang Dong		NDS 112, 1513 (2011)	29-Oct-2009

E=122 MeV. Measured  $E\gamma$ ,  $I\gamma$ ,  $\gamma\gamma$ ,  $\gamma\gamma(\theta)$ ,  $\alpha\gamma$  coin using Gammasphere of 101 Compton-suppressed Ge detectors for  $\gamma$  rays and  $4\pi$  CsI Microball array for charged particles.

 $^{56}\text{Ni}$  Levels

E(level) <sup>†</sup>	J $\pi$ <sup>‡</sup>	E(level) <sup>†</sup>	J $\pi$ <sup>‡</sup>	E(level) <sup>†</sup>	J $\pi$ <sup>‡</sup>	E(level) <sup>†</sup>	J $\pi$ <sup>‡</sup>
0.0 <sup>@</sup>	0 <sup>+</sup>	7954.7 <sup>@</sup> 15	8 <sup>+</sup>	10933.7 <sup>a</sup> 20	(9) <sup>#</sup>	13576.8 <sup>&amp;</sup> 23	(12 <sup>+</sup> ) <sup>#</sup>
2700.3 <sup>@</sup> 9	2 <sup>+</sup>	8223.7 16	8 <sup>+</sup>	11001.8 18	(10 <sup>+</sup> )	13644 3	(12 <sup>+</sup> )
3924.3 <sup>@</sup> 12	4 <sup>+</sup>	8778.5 17	(7)	11294.7 <sup>&amp;</sup> 20	(10 <sup>+</sup> ) <sup>#</sup>	14449.8 <sup>a</sup> 25	(13) <sup>#</sup>
5316.3 <sup>@</sup> 15	6 <sup>+</sup>	9009.7 17	9 <sup>+</sup>	11420.6 17	11 <sup>+</sup>	14735.9 <sup>@</sup> 20	(14 <sup>+</sup> )
5350.5 <sup>&amp;</sup> 11	(2 <sup>+</sup> ) <sup>#</sup>	9307.7 <sup>&amp;</sup> 18	(8 <sup>+</sup> ) <sup>#</sup>	11866.7 22	(10 <sup>+</sup> )	16354.7 <sup>&amp;</sup> 3	(14 <sup>+</sup> ) <sup>#</sup>
6326.5 <sup>&amp;</sup> 11	(4 <sup>+</sup> ) <sup>#</sup>	9418.3 <sup>@</sup> 17	10 <sup>+</sup>	12358.8 <sup>@</sup> 18	12 <sup>+</sup>	16768 <sup>a</sup> 4	(15) <sup>#</sup>
6650.5 15	6 <sup>+</sup>	9477.7 17	(9 <sup>+</sup> )	12504.7 <sup>a</sup> 23	(11) <sup>#</sup>		
7601.4 17	(7 <sup>+</sup> )	10469.7 18	9	12758.4 18	(12 <sup>+</sup> )		
7652.7 <sup>&amp;</sup> 14	(6 <sup>+</sup> ) <sup>#</sup>	10677.3 17	10 <sup>+</sup>	13505.7 18	(12)		

<sup>†</sup> From least-squares fit to  $E\gamma$ 's.

<sup>‡</sup> From multipolarity of gamma-rays.

<sup>#</sup> From 1999Ru01.

<sup>@</sup> Band(A): g.s. band.

<sup>&</sup> Band(B): Band based on (2<sup>+</sup>).

<sup>a</sup> Band(C): Band based on (9).

 $\gamma(^{56}\text{Ni})$ 

$E\gamma$	$I\gamma$	$E_i(\text{level})$	$J_i^\pi$	$E_f$	$J_f^\pi$	Mult. <sup>†</sup>	Comments
787 1	4.5 6	9009.7	9 <sup>+</sup>	8223.7	8 <sup>+</sup>	E2+M1	R <sub>30-83</sub> =0.6 1.
976 1	7.4 18	6326.5	(4 <sup>+</sup> )	5350.5	(2 <sup>+</sup> )	(E2)	
1055 1	8.8 8	9009.7	9 <sup>+</sup>	7954.7	8 <sup>+</sup>	E2+M1	R <sub>30-83</sub> =0.5 1.
1146 1	2.8 5	13505.7	(12)	12358.8	12 <sup>+</sup>		Mult.: $\Delta J=0$ . R <sub>30-83</sub> =0.8 2. R <sub>30-83</sub> =1.3 1.
1224 1	83 3	3924.3	4 <sup>+</sup>	2700.3	2 <sup>+</sup>	E2	
1254 <sup>‡</sup> 2	1.2 7	9477.7	(9 <sup>+</sup> )	8223.7	8 <sup>+</sup>		
1304 1	3.5 5	7954.7	8 <sup>+</sup>	6650.5	6 <sup>+</sup>	E2	R <sub>30-83</sub> =1.3 3.
1326 1	10 3	7652.7	(6 <sup>+</sup> )	6326.5	(4 <sup>+</sup> )	(E2)	
1392 1	81 4	5316.3	6 <sup>+</sup>	3924.3	4 <sup>+</sup>	E2	R <sub>30-83</sub> =1.4 1.
1463 1	48 3	9418.3	10 <sup>+</sup>	7954.7	8 <sup>+</sup>	E2	R <sub>30-83</sub> =1.4 1.
1523 1	2.1 5	9477.7	(9 <sup>+</sup> )	7954.7	8 <sup>+</sup>	(E2+M1)	R <sub>30-83</sub> =1.6 3.
1571 1	4.2 9	12504.7	(11)	10933.7	(9)		
1626 1	4.6 9	10933.7	(9)	9307.7	(8 <sup>+</sup> )		
1655 1	8 3	9307.7	(8 <sup>+</sup> )	7652.7	(6 <sup>+</sup> )		
1681 1	5.4 6	12358.8	12 <sup>+</sup>	10677.3	10 <sup>+</sup>	E2	R <sub>30-83</sub> =1.2 2.
1876 2	<1	9477.7	(9 <sup>+</sup> )	7601.4	(7 <sup>+</sup> )		
1945 1	3.7 8	14449.8	(13)	12504.7	(11)		
1987 1	4.6 22	11294.7	(10 <sup>+</sup> )	9307.7	(8 <sup>+</sup> )		
2002 1	7.6 10	11420.6	11 <sup>+</sup>	9418.3	10 <sup>+</sup>	E2+M1	R <sub>30-83</sub> =1.6 5.
2081 1	1.7 7	12758.4	(12 <sup>+</sup> )	10677.3	10 <sup>+</sup>		$E\gamma$ : 2801 in table 1 of 2006Jo03 is a misprint.

Continued on next page (footnotes at end of table)

$^{40}\text{Ca}(^{28}\text{Si},3\alpha\gamma)$  2006Jo03 (continued) $\gamma(^{56}\text{Ni})$  (continued)

$E_\gamma$	$I_\gamma$	$E_i(\text{level})$	$J_i^\pi$	$E_f$	$J_f^\pi$	Mult. <sup>†</sup>	Comments
2086	1	4.6 7	13505.7	(12)	11420.6	11 <sup>+</sup>	Mult.: $\Delta J=1$ . $R_{30-83}=0.8$ 3.
2282	1	2.8 14	13576.8	(12 <sup>+</sup> )	11294.7	(10 <sup>+</sup> )	
2285	1	10 2	7601.4	(7 <sup>+</sup> )	5316.3	6 <sup>+</sup>	(E2+M1) $R_{30-83}>1.0$ .
2318	2	<1	16768	(15)	14449.8	(13)	
2377	1	11 3	14735.9	(14 <sup>+</sup> )	12358.8	12 <sup>+</sup>	(E2) $R_{30-83}=1.1$ 1.
2402	1	4.3 21	6326.5	(4 <sup>+</sup> )	3924.3	4 <sup>+</sup>	Mult.: $\Delta J=(0)$ .
2412	1	5.8 11	11420.6	11 <sup>+</sup>	9009.7	9 <sup>+</sup>	$R_{30-83}=0.9$ 1.
2453	1	8.0 9	10677.3	10 <sup>+</sup>	8223.7	8 <sup>+</sup>	$R_{30-83}=1.1$ 2.
2515	1	4.4 7	10469.7	9	7954.7	8 <sup>+</sup>	Mult.: $\Delta J=1$ . $R_{30-83}=0.6$ 2.
2626 <sup>‡</sup>	2	<1	11866.7	(10 <sup>+</sup> )			
2638	1	65 3	7954.7	8 <sup>+</sup>	5316.3	6 <sup>+</sup>	E2 $R_{30-83}=1.3$ 1.
2650	1	3.3 8	5350.5	(2 <sup>+</sup> )	2700.3	2 <sup>+</sup>	Mult.: $\Delta J=0$ .
2700	1	100 4	2700.3	2 <sup>+</sup>	0.0	0 <sup>+</sup>	$R_{30-83}=1.3$ 1.
2726	1	4.1 7	6650.5	6 <sup>+</sup>	3924.3	4 <sup>+</sup>	E2 $R_{30-83}=1.4$ 4.
2777 <sup>‡</sup>	2	<1	16354?	(14 <sup>+</sup> )	13576.8	(12 <sup>+</sup> )	
2908	1	13 1	8223.7	8 <sup>+</sup>	5316.3	6 <sup>+</sup>	E2 $R_{30-83}=1.3$ 1.
2940	1	19 2	12358.8	12 <sup>+</sup>	9418.3	10 <sup>+</sup>	E2 $R_{30-83}=1.5$ 1.
3047	1	2.0 5	11001.8	(10 <sup>+</sup> )	7954.7	8 <sup>+</sup>	(E2)
3340	1	8.4 9	12758.4	(12 <sup>+</sup> )	9418.3	10 <sup>+</sup>	(E2) $R_{30-83}=1.6$ 3.
3462	1	<1	8778.5	(7)	5316.3	6 <sup>+</sup>	
3626	1	10 2	6326.5	(4 <sup>+</sup> )	2700.3	2 <sup>+</sup>	(E2)
3729	2	0.8 4	7652.7	(6 <sup>+</sup> )	3924.3	4 <sup>+</sup>	(E2)
3912	2	2.8 6	11866.7	(10 <sup>+</sup> )	7954.7	8 <sup>+</sup>	(E2) $R_{30-83}=1.0$ 3.
4226	2	1.2 5	13644	(12 <sup>+</sup> )	9418.3	10 <sup>+</sup>	
5351	2	5.3 4	5350.5	(2 <sup>+</sup> )	0.0	0 <sup>+</sup>	E2 $R_{30-83}=1.6$ 1.

<sup>†</sup> From  $R_{30-83} = I_\gamma(30^\circ)/I_\gamma(83^\circ)$  deduced from  $\gamma\gamma$  matrix. Value of  $\approx 1.3$  is expected for  $\Delta J=2$ , stretched quadrupole and  $\approx 0.8$  for  $\Delta J=1$ , dipole transitions. Values quite different from two suggest  $\Delta J=1$  or 0 with M1+E2 admixtures.

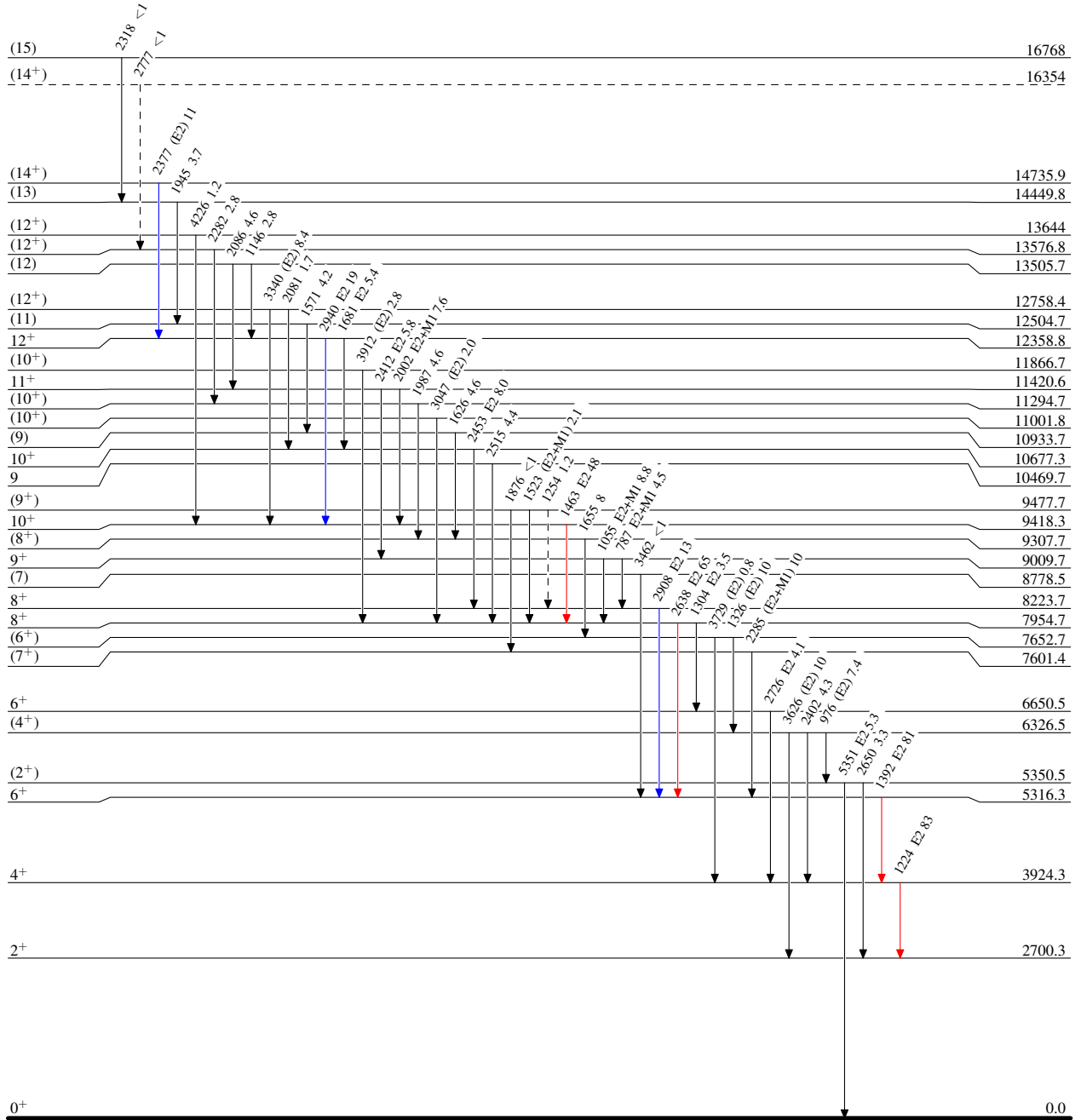
<sup>‡</sup> Placement of transition in the level scheme is uncertain.

$^{40}\text{Ca}(^{28}\text{Si},3\alpha\gamma)$  2006Jo03

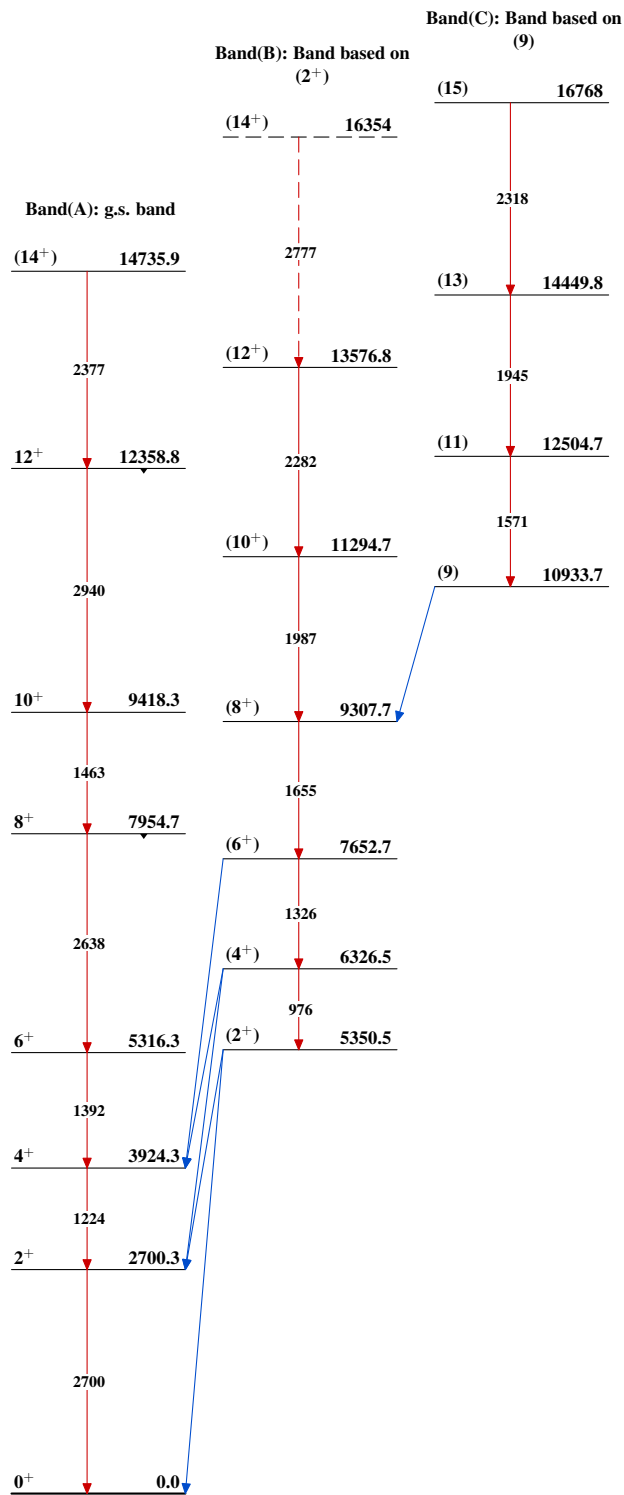
Legend

Level Scheme  
Intensities: Relative  $I_\gamma$

- $I_\gamma < 2\% \times I_\gamma^{max}$
- $I_\gamma < 10\% \times I_\gamma^{max}$
- $I_\gamma > 10\% \times I_\gamma^{max}$
- - - - -→  $\gamma$  Decay (Uncertain)



$^{56}_{28}\text{Ni}_{28}$

$^{40}\text{Ca}(^{28}\text{Si}, 3\alpha\gamma)$  2006Jo03 $^{56}_{28}\text{Ni}_{28}$